

一様流入する沈殿池における密度流の発生機構

九大 正員 栗谷 陽一
九大 学生員 ○金子 新

1. まえがき

一様流入整流壁を有する矩形沈殿池に、密度の異なる液体が流入した時の、整流壁付近の流れについて報告する。

2. 実験方法及び実験結果

実験装置の概要は、図1に示す。タンクは、長さ2m、幅10cm、深さ40cmの寸法の物を使用した。

塩水をタンクにため、淡水をフィルターを通して一様流入させることにより密度流を発生させた。塩水はフルオレッセンで着色し、出口は塩水の流出を減少させるため、横溢流せきとした。

流速の測定は、水素気泡法を行ない、リレーにより一定の時間間隔で発生する水素気泡を、写真撮影にて測定した。

写真1は、水素気泡発生の様子を示している。

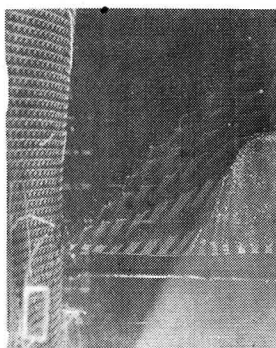
図2に流速の遷移の様子と、境界面の形状を示す。

この時の実験条件は、次に示す如くである。

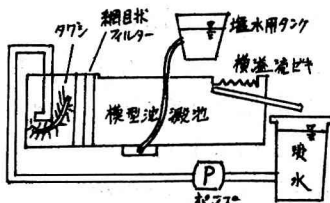
一様流入流速 u_0 0.80 cm/sec

淡水密度 ρ_w 1.002

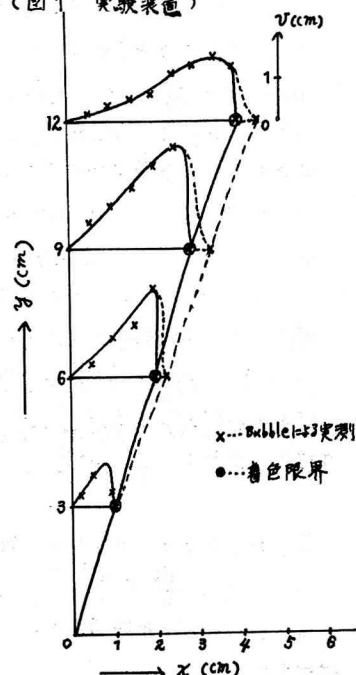
塩水密度 ρ_s 1.004



(写真1. 水素気泡)



(図1. 実験装置)



3. 理論及び考察

淡水は、塩水中に一様に流入する。

整流壁付近の流れは、自由表面及び出口の影響を受けない。(図2. 実測値)
と仮定して、流れを理想流体とした場合、渦動拡散を考慮した場合、について一応の解析を試みた。

1) 理想液体としての解析

流入方向を x 軸、それと垂直上向に y 軸をとる。

A, B 両点にベルヌーイの定理を適用すれば

$$\frac{P_A}{\rho g} + \frac{1}{2} u_0^2 = \frac{P_B}{\rho g} + \frac{1}{2} u^2 + \frac{1}{2} g y \quad (1-1)$$

となる。ただし、 $\frac{u_0^2}{2}$ は微小として省略した。 u_0 は流入速度。

A, B 両点における圧力は、境界層理論よりの類推より

$$P_A = P_{bottom} - \rho g y_0, \quad P_B = P_{bottom} - \rho g y \quad (1-2)$$

と書ける。ただし、 P_{bottom} はタンク底の圧力とする。

$$\text{また連続の式は。 } u_0 dy_0 = u(x, y) dx \quad (1-3)$$

となる。 $(1-1)(1-2)(1-3)$ 式より

$$u(x, y) = u_0 \quad (\text{一定}) \quad u(x, y) = \frac{\epsilon_0 g}{u_0} x \quad (1-4)$$

となり。境界面形状は

$$y = \frac{\epsilon_0 g}{2 u_0^2} x^2 \quad (1-5) \quad (\text{図3 理論と実測値の比較})$$

となる。図3に示す如く、流速及び境界面形状は、理想流体としての解析では

十分説明できない。

2) 液動拡散を考慮した解析

$v \gg u$, $\frac{\partial v}{\partial x} \ll \frac{\partial u}{\partial x}$ と考え、混合距離が x に比例するとして、 $l = kx$ とすると、二次元運動方程式及び質量欠損保存則は

$$u \frac{\partial v}{\partial x} + v \frac{\partial u}{\partial y} = \epsilon g + \frac{g}{\rho} \left(K^2 x^2 \frac{\partial v}{\partial x} \right), \quad u \frac{\partial \epsilon}{\partial x} + v \frac{\partial \epsilon}{\partial y} = \frac{g}{\rho} \left(K^2 x^2 \frac{\partial v}{\partial x} \right) \quad (2-1)$$

と書ける。ただし、 $P = P_{bottom} - \rho g y$, $\epsilon = \frac{P_s - P}{\rho g}$,

流速分布及び質量欠損分布を次のように仮定する。(図4参照)

$$0 \leq x \leq x_1 : \quad v_1(x, y) = V_m(y) \sin \frac{\pi x}{2x_1(y)}, \quad \epsilon_1 = \epsilon_0 \quad (\text{ただし } \epsilon_0 = \frac{P_s - P_{bottom}}{\rho g}) \quad (2-2)$$

$$x_1 \leq x \leq x_1 + x_2 : \quad v_2(x, y) = \frac{V_m(y)}{2} \left[1 + \cos \frac{\pi(x - x_1(y))}{2x_2(y)} \right], \quad \epsilon_2 = \frac{\epsilon_0}{2} \left[1 + \cos \frac{\pi(x - x_1(y))}{2x_2(y)} \right]$$

(2-2) を (2-1) に代入して x で積分し、また (2-1) の左式に v を乗じ

て積分して、関係諸量を無次元化すれば

$$\left(\xi_1 + \frac{3}{4} \xi_2 \right) \phi \frac{d\phi}{d\eta} + \frac{1}{2} \left(\frac{d\xi_1}{d\eta} + \frac{3}{4} \frac{d\xi_2}{d\eta} \right) \phi^2 = \xi_1 + \frac{1}{2} \xi_2, \quad \left(\frac{2}{\pi} \xi_1 + \frac{3}{8} \xi_2 \right) \phi = ?$$

$$\left(\frac{2}{\pi} \xi_1 + \frac{15}{32} \xi_2 \right) \phi \frac{d\phi}{d\eta} + \frac{1}{3} \left(\frac{2}{\pi} \frac{d\xi_1}{d\eta} + \frac{15}{32} \frac{d\xi_2}{d\eta} \right) \phi^2 = \frac{2}{\pi} \xi_1 + \frac{3}{8} \xi_2 - \phi^2 \left[\frac{\pi^2}{4} - \frac{50}{27} + \frac{\pi^2}{64} \xi_1 (\xi_1 + \xi_2) \right]$$

を得る。ただし、 $\eta = \frac{x^2 y}{\epsilon_0 g}$, $\xi_1 = \frac{x_1}{\sqrt{\epsilon_0 g}}$, $\xi_2 = \frac{x_2}{\sqrt{\epsilon_0 g}}$, $\phi = \frac{V_m}{u_0}$

ξ_1 , ξ_2 , ϕ を $\eta = 0$ について級数展開し、初項をとると

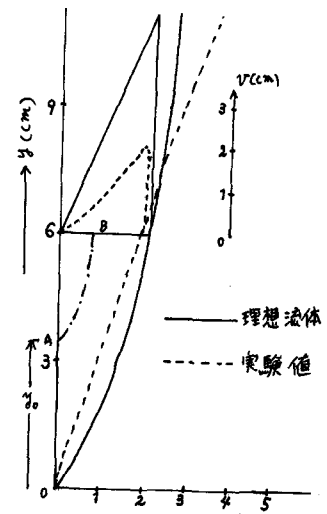
$$\xi_1 = \frac{\sqrt{3}}{4} \pi \eta^{\frac{1}{2}}, \quad \xi_2 = \frac{\sqrt{3}}{2} \pi^2 \eta^{\frac{3}{2}}, \quad \phi = \frac{2}{\sqrt{3}} \eta^{\frac{1}{2}} \quad (2-4)$$

を得る。(2-4) を初期値とし (2-3) の数値解は、以下電算を使用して得られた。

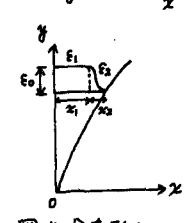
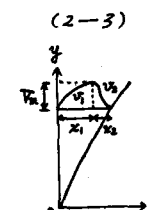
フィルター面上に沿う乱れは小さいので、 K の値は 0.4 より小さいもの

と予想される。(2-4) と実験結果を比較することにより、 K は

0.25 ~ 0.35 程度の値をもつ見込であるが、詳しくは検討中である。



(図3 理論と実測値の比較)



(図4 分布形)